

©1994 г.

ЭФФЕКТ ВЫТЯГИВАНИЯ НЕОСНОВНЫХ НОСИТЕЛЕЙ В ФОТОРЕЗИСТИВНЫХ КРИСТАЛЛАХ $Cd_xHg_{1-x}Te$ С РАЗЛИЧНЫМ ТИПОМ ПРОВОДИМОСТИ

A.И.Власенко, A.В.Любченко

Институт физики полупроводников Академии наук Украины,
252650, Киев, Украина

(Получена 27 декабря 1993 г. Принята к печати 7 февраля 1994 г.)

Исследован эффект вытягивания неосновных носителей заряда в кристаллах $Cd_xHg_{1-x}Te$ с $x \simeq 0.21 \div 0.22$ *n*-, *p*- и смешанного типа проводимости. Получено простое соотношение, позволяющее проанализировать этот эффект. По экспериментальным значениям времени жизни и электрического поля, при котором наступает вытягивание, рассчитана амбиполярная подвижность, характеризующая в кристаллах *n*- и *p*-типа проводимости подвижность неосновных носителей заряда.

В фоточувствительных полупроводниках пропорциональность фототока I_{ph} приложенному электрическому напряжению (закон Ома) выполняется до определенных значений напряженностей электрического поля $E = E^*$, выше которых наступает его насыщение, связанное с вытягиванием (экстракцией) неосновных неравновесных носителей заряда (ННЗ) из объема кристалла. Этот эффект в твердых растворах $Cd_xHg_{1-x}Te$ состава, соответствующего $x = 0.2$, теоретически и экспериментально изучался в работах [1,2]. В области насыщения I_{ph} время жизни ННЗ уменьшается с ростом E [2]. Оба эффекта могут быть использованы для определения параметров неосновных ННЗ. Экспериментальные результаты различных авторов по экстракции в $Cd_xHg_{1-x}Te$ были получены и проанализированы лишь на кристаллах *n*-типа проводимости.

Представляет интерес сопоставление результатов эксперимента в кристаллах различных типов проводимости, полученных по единой технологии — с близкой концентрацией фоновых примесей и протяженных дефектов решетки.

Были изучены монокристаллические образцы $Cd_xHg_{1-x}Te$ с $x = 0.21 \div 0.22$ *n*-, *p*- и смешанного типа проводимости. Электрофизические параметры кристаллов при 77 К приведены в таблице. Для кристаллов 5, 6 (со смешанной проводимостью при условии $p_0 > n_0$) характерно, что знак коэффициента Холла R_H соответствует электрон-

Характеристики образцов

№ образца	Тип проводимости	$n_0, p_0, 10^{14} \text{ см}^{-3}$	$\mu_{n,p}, \text{см}^2/\text{В}\cdot\text{с}$	$\tau_0, 10^{-6} \text{ с}$	$E^*, \text{В}/\text{см}$	$\tau_{p,n}, 10^{-6} \text{ с}$	$\mu_a, \text{см}^2/\text{В}\cdot\text{с}$
1	<i>n</i>	1.1	$1.5 \cdot 10^5$	2.8	65	2.5	$0.9 \cdot 10^3$
2	<i>n</i>	6.7	$1 \cdot 10^5$	1.2	50	1.6	$1.5 \cdot 10^3$
3	<i>n</i>	0.8	$6 \cdot 10^4$	1.5	60	1.8	$1.3 \cdot 10^3$
4	<i>p</i>	21	$3 \cdot 10^2$	1.2	0.8	2.5	$1.2 \cdot 10^5$
5	<i>p*</i>	3	$9 \cdot 10^4$	0.5	1.6	0.6	$2 \cdot 10^5$
6	<i>p*</i>	5	$1 \cdot 10^5$	0.6	1.0	0.8	$2.5 \cdot 10^5$

Примечание. p^* относится к кристаллам *p*-типа проводимости ($p_0 > n_i$) с существенной электронной компонентой — так называемый смешанный тип проводимости.

ной проводимости и зависит от поля. В силу этого концентрация и подвижность, формально определенные по стандартным выражениям из гальваномагнитных измерений, имеют смысл эффективных (n^*, μ^*).

Полевые зависимости сигнала fotoответа U_c и времени релаксации τ , определенного по спаду $U_c(t)$ при возбуждении CO₂-лазером для образцов 1 и 4 (соответственно *n*- и *p*-типа проводимости), приведены на рис. 1.

Как и следовало ожидать, в *p*-образцах (неосновные ННЗ — электроны) насыщение и область полевой зависимости τ наступают при значительно более низких полях ($E^* \approx 0.08 \text{ В}/\text{см}$), чем в *n*-образцах ($E^* \approx 60 \div 70 \text{ В}/\text{см}$). Величины времени релаксации τ_0 в области низких напряжений, $E < E^*$, приведены в таблице.

Из теоретического анализа эффекта экстракции носителей, проведенного для случая биполярной фотопроводимости ($\tau_n = \tau_p$), имеем величину E^* и полевую зависимость эффективного времени жизни τ_{eff}

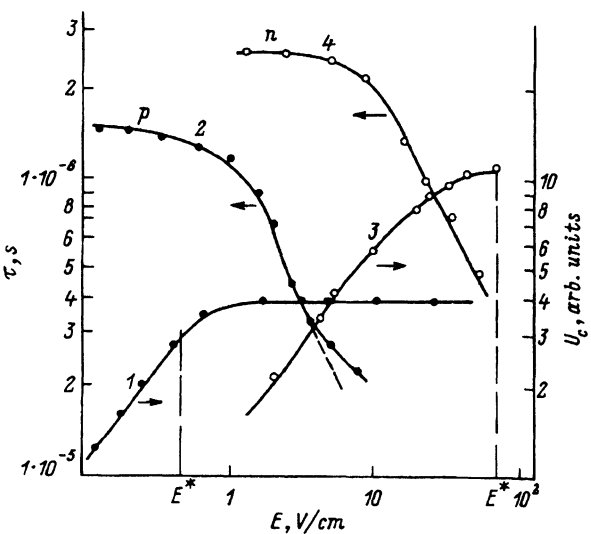


Рис. 1. Полевые зависимости сигнала U_c (1, 3) и времени релаксации τ (2, 4) фотопроводимости для кристалла Cd_xHg_{1-x}Te: образец 4 *p*-типа проводимости (1, 2) и образец 1 *n*-типа проводимости (3, 4). $T = 77 \text{ K}$.

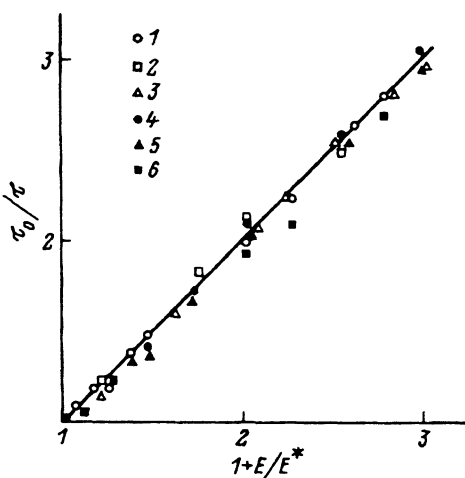


Рис. 2. Зависимости обратного времени релаксации τ_0/τ от напряженности электрического поля E в относительных координатах. $T = 77$ К. Указаны номера образцов в соответствии с таблицей.

в кристаллах n -типа проводимости в следующем виде [1]:

$$E^* = \frac{l}{\mu_a \tau_p}, \quad (1a)$$

$$\frac{1}{\tau_{\text{eff}}} = \frac{1}{\tau_p} + \frac{\mu_a E}{l}, \quad (1b)$$

где μ_a — амбиполярная подвижность, τ_p — время жизни ННЗ, l — расстояние между токовыми контактами. Аналогичное выражение может быть записано для кристаллов p -типа проводимости. Различие заключается лишь в том, что в примесном полупроводнике ($n_0, p_0 \gg n_i$) величина μ_a совпадает с подвижностью неосновных ННЗ: $\mu_a \cong \mu_p$ (n -типа) и $\mu_a \cong \mu_n$ (p -типа).

Из (1b) следует экспериментально подтвержденный факт [1-3] — смещение зависимости $\tau(E)$ в область более высоких напряженностей электрического поля с уменьшением времени жизни ННЗ.

Комбинацией выражений (1a, 1b) для кристаллов n - и p -типа может быть получено универсальное простое соотношение

$$\tau_0/\tau_{\text{eff}} = 1 + E/E^*, \quad (2)$$

которое позволяет проверить выполнимость эффекта вытягивания, определить величину τ_0 и ее соответствие времени жизни ННЗ. Для исследованных образцов она приведена на рис. 2. Величины E^* взяты из зависимостей $U_c(E)$ (рис. 1).

Этот эффект будет иметь место лишь в том случае, когда величина τ совпадает с временем жизни ННЗ. Детальный анализ этого вопроса для кристаллов CdHgTe проведен в [4]. Предполагается, что $\tau = \tau_{\text{eff}}$. Это предположение доказывается реализацией линейной зависимости $1/\tau$ от E . Совпадение экспериментальных данных с (2) вполне удовлетворительное, заметное расхождение наблюдается лишь для образцов со смешанной проводимостью (образцы 5, 6).

Времена жизни неосновных ННЗ (τ_p, τ_n), определенные по линейной зависимости $\tau_0/\tau(E) = \tau_{p,n}/\tau_{\text{eff}}$, приведены в таблице. Они близки к

экспериментальным значениям времени релаксации $U_c(t)$ при $E < E^*$, которое с учетом большой величины отношения $b = \mu_n/\mu_p \cong 10^2$ в составах с $x \simeq 0.2$ связано с релаксацией электронной компоненты фотопроводимости.

При известных (экспериментально определенных) величинах τ_p и E^* по (1а) рассчитывается амбиполярная подвижность μ_a ННЗ (см. таблицу). В p -образцах 4–6 ее величина, как и следовало ожидать, совпадает с электронной подвижностью, в n -образцах (образцы 1–3) $\mu_a > \mu_p$. В CdHgTe, по данным [5], $\mu_p \lesssim 500 \text{ см}^2/\text{В}\cdot\text{с}$ при 77 К. Из сравнения величин μ_n^* и μ_a для образцов 5 и 6 видно, что экспериментально определенная по холловским измерениям электронная подвижность в кристаллах со смешанной проводимостью имеет смысл эффективного параметра [6]. В таких кристаллах тип проводимости однозначно определяется по напряженности электрического поля E^* (1а), что не требует изучения полевых зависимостей эффекта Холла.

Особенности полевой зависимости времени жизни ННЗ для кристаллов со смешанной проводимостью, а также завышенные значения подвижности дырок (см. таблицу) требуют дальнейшего анализа.

Список литературы

- [1] M.R. Johnos. J. Appl. Phys., **43**, 3090 (1972).
- [2] В.И. Иванов-Омский, В.К. Огородников, Т.Ц. Тотиева. ФТП, **14**, 699 (1980).
- [3] Л.Н. Курбатов, А.В. Межерицкий, И.М. Овчинников, Н.В. Сороко-Новицкий, Е.С. Банин, Т.Ф. Терехович. ФТП, **14**, 799 (1980).
- [4] А.И. Власенко, Ю.Н. Гаврилюк, А.В. Любченко, Е.А. Сальков. ФТП, **13**, 2180 (1979).
- [5] А.И. Елизаров, Л.П. Зверев, В.В. Кружава, Г.М. Миньков, О.Э. Рут. ФТП, **17**, 459 (1983).
- [6] Л.А. Каракецева, А.В. Любченко. ФТП, **26**, 1342 (1992).

Редактор Л.В. Шаронова

Effect of Extraction of Minority Carriers in Photoresistor Cd_xHg_{1-x}Te Crystals with Different Conductivity Type

A.I. Vlasenko and A.V. Lubchenko

Institute of Semiconductors, Academy of Sciences of the Ukraine, 252650, Kiev, Ukraine